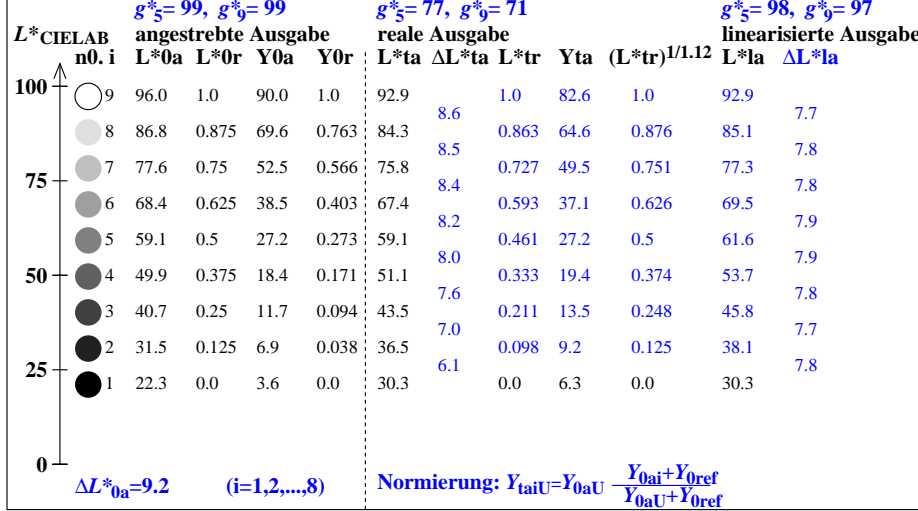


9stufige Grauskalierung zwischen  $L^*_{0aN}=22.3$  und  $L^*_{0aW}=95.9$ ,  $Y_{0ref}=3.6$ , Normierung Grau U

$L^*_{0aN}=22.3$ ,  $L^*_{0aU}=59.1$ ,  $L^*_{0aW}=96.0$ ,  $Y_{0aN}=3.6$ ,  $Y_{0aU}=27.2$ ,  $Y_{0aW}=90.0$ ,  $C_{0aY}=Y_{0aW}:Y_{0aN}=25.0$   
 $L^*_{taN}=30.3$ ,  $L^*_{taU}=59.1$ ,  $L^*_{taW}=92.9$ ,  $Y_{taN}=6.3$ ,  $Y_{taU}=27.2$ ,  $Y_{taW}=82.6$ ,  $C_{taY}=Y_{taW}:Y_{taN}=13.0$

Regularitätsindex nach ISO/IEC 15775:2022, Anhang G für 5 und 9 Stufen

$g^* = 100 [\Delta L^*_{min}] / [\Delta L^*_{max}]$ ,  $L^*_{CIELAB} = 116 [Y/Y_n]^{1/3} - 16$  mit  $Y >= 0,882$ ,  $Y_n=100$



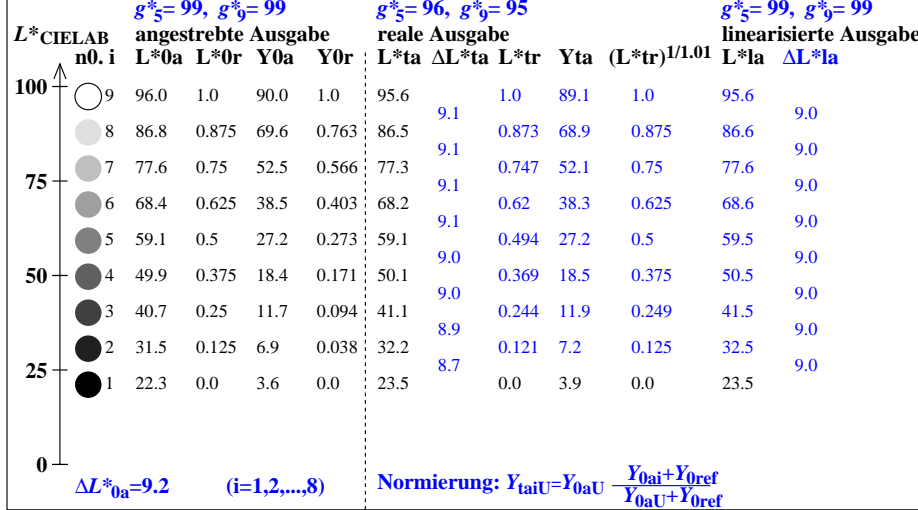
egp10-3n

9stufige Grauskalierung zwischen  $L^*_{0aN}=22.3$  und  $L^*_{0aW}=95.9$ ,  $Y_{0ref}=0.4$ , Normierung Grau U

$L^*_{0aN}=22.3$ ,  $L^*_{0aU}=59.1$ ,  $L^*_{0aW}=96.0$ ,  $Y_{0aN}=3.6$ ,  $Y_{0aU}=27.2$ ,  $Y_{0aW}=90.0$ ,  $C_{0aY}=Y_{0aW}:Y_{0aN}=25.0$   
 $L^*_{taN}=23.5$ ,  $L^*_{taU}=59.1$ ,  $L^*_{taW}=95.6$ ,  $Y_{taN}=3.9$ ,  $Y_{taU}=27.2$ ,  $Y_{taW}=89.1$ ,  $C_{taY}=Y_{taW}:Y_{taN}=22.6$

Regularitätsindex nach ISO/IEC 15775:2022, Anhang G für 5 und 9 Stufen

$g^* = 100 [\Delta L^*_{min}] / [\Delta L^*_{max}]$ ,  $L^*_{CIELAB} = 116 [Y/Y_n]^{1/3} - 16$  mit  $Y >= 0,882$ ,  $Y_n=100$



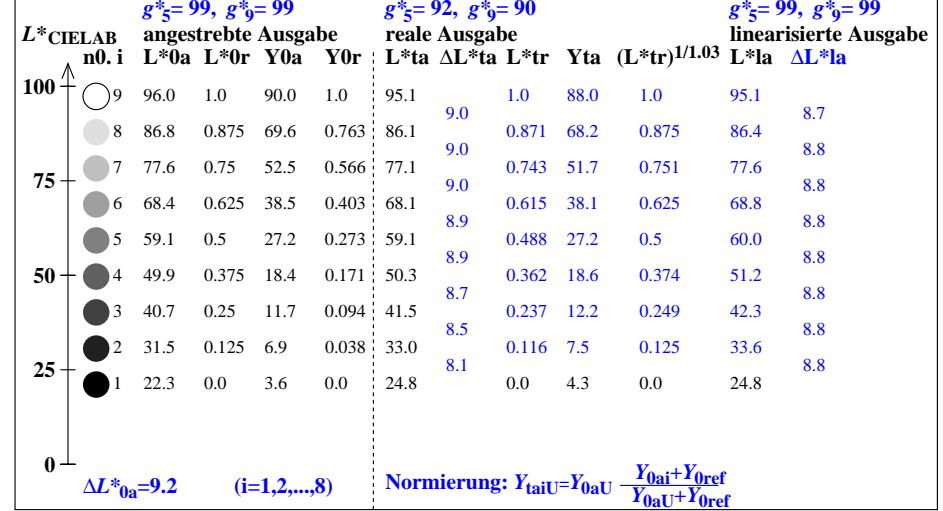
egp10-7n

9stufige Grauskalierung zwischen  $L^*_{0aN}=22.3$  und  $L^*_{0aW}=95.9$ ,  $Y_{0ref}=0.9$ , Normierung Grau U

$L^*_{0aN}=22.3$ ,  $L^*_{0aU}=59.1$ ,  $L^*_{0aW}=96.0$ ,  $Y_{0aN}=3.6$ ,  $Y_{0aU}=27.2$ ,  $Y_{0aW}=90.0$ ,  $C_{0aY}=Y_{0aW}:Y_{0aN}=25.0$   
 $L^*_{taN}=24.8$ ,  $L^*_{taU}=59.1$ ,  $L^*_{taW}=95.1$ ,  $Y_{taN}=4.3$ ,  $Y_{taU}=27.2$ ,  $Y_{taW}=88.0$ ,  $C_{taY}=Y_{taW}:Y_{taN}=20.2$

Regularitätsindex nach ISO/IEC 15775:2022, Anhang G für 5 und 9 Stufen

$g^* = 100 [\Delta L^*_{min}] / [\Delta L^*_{max}]$ ,  $L^*_{CIELAB} = 116 [Y/Y_n]^{1/3} - 16$  mit  $Y >= 0,882$ ,  $Y_n=100$



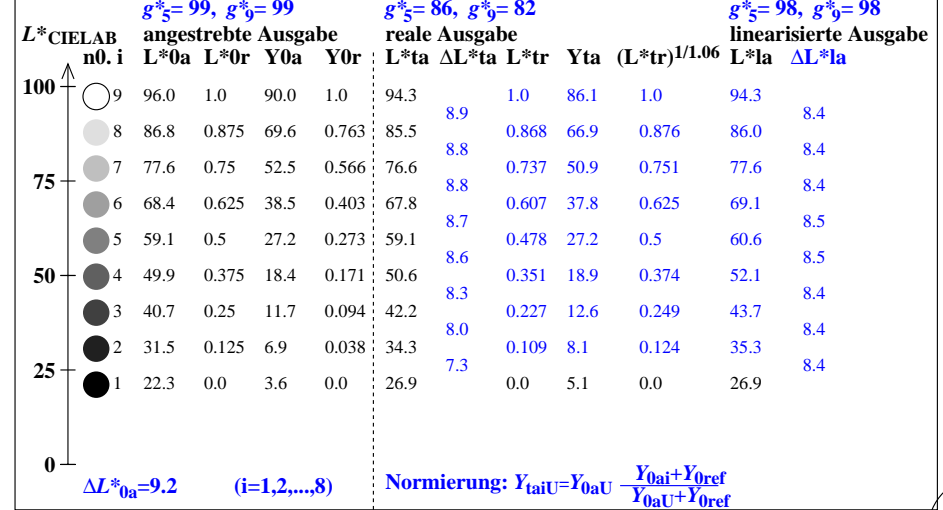
egp11-3n

9stufige Grauskalierung zwischen  $L^*_{0aN}=22.3$  und  $L^*_{0aW}=95.9$ ,  $Y_{0ref}=1.8$ , Normierung Grau U

$L^*_{0aN}=22.3$ ,  $L^*_{0aU}=59.1$ ,  $L^*_{0aW}=96.0$ ,  $Y_{0aN}=3.6$ ,  $Y_{0aU}=27.2$ ,  $Y_{0aW}=90.0$ ,  $C_{0aY}=Y_{0aW}:Y_{0aN}=25.0$   
 $L^*_{taN}=26.9$ ,  $L^*_{taU}=59.1$ ,  $L^*_{taW}=94.3$ ,  $Y_{taN}=5.1$ ,  $Y_{taU}=27.2$ ,  $Y_{taW}=86.1$ ,  $C_{taY}=Y_{taW}:Y_{taN}=17.0$

Regularitätsindex nach ISO/IEC 15775:2022, Anhang G für 5 und 9 Stufen

$g^* = 100 [\Delta L^*_{min}] / [\Delta L^*_{max}]$ ,  $L^*_{CIELAB} = 116 [Y/Y_n]^{1/3} - 16$  mit  $Y >= 0,882$ ,  $Y_n=100$



egp11-7n

Siehe ähnliche Dateien der ganzen Serie: http://farbe.li.tu-berlin.de/egps.htm  
Technische Information: http://farbe.li.tu-berlin.de oder http://color.li.tu-berlin.de

TUB-Registrierung: 20230701-egp1/egp110na.txt /ps  
Anwendung für Beurteilung und Messung von Display- oder Druck-Ausgabe  
TUB-Material: Code=rh4ta